機能性材料評価学特論 第4回

前回:計装化押込み試験による材料特性評価理論 (その 2、Oliver & Pharr 法について)



今回:計装化押込み試験による材料特性評価理論 (その 2、Oliver & Pharr 法について) 続き

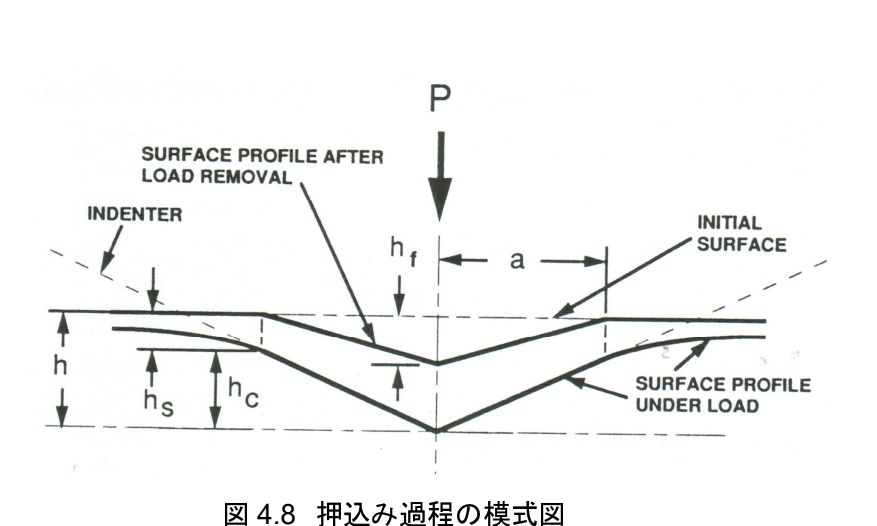
4. 計装化押込み硬さ試験による材料特性評価理論 (その2)続き (Oliver & Pharr 法の 1992 年の論文)

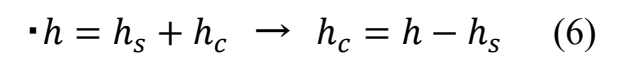
4.4 解析の新手法

●押込み一除荷データより、 ・ア今荷曲を記は系見什りではなくへき乗りに行う曲をなすがな

. 時有例1性は一定ではなく連続的に変化しているである

·フラットハンチでの近似(Doenner & Nix)は適当ではない.





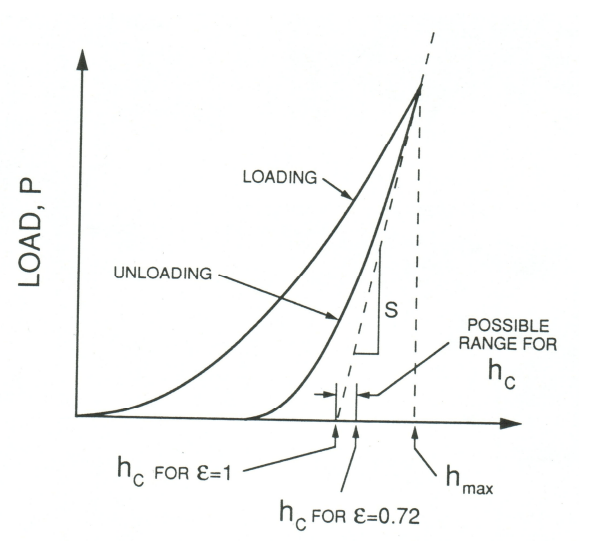


図 4.9 押込み線図の模式図

Sneddon の円錐圧子における弾性解を利用

•
$$h_S = \frac{\pi - 2}{\pi} (h - h_f)$$
 (7) and $(h - h_f) = 2 \frac{P}{S}$ (8)

・(8) 対を(り)式に代入、かつ降荷の初期音かに対応すび以

$$\therefore h_S = \frac{2(\pi - 2)}{\pi} \frac{P_{max}}{S} \qquad (9)$$

h→hmax, P→Pmax > 圧みでがれて手数をとする。

日全位: 2(元-2) = 0.72

国転放的面(联合配):0.75

E=1027, hs= Pmax -> hc=hmax

Doenner ANix 言倫文にあける thplastics 2同一n佐氏

4.5 解析の実行

●圧子形状と除荷曲線近似の選択

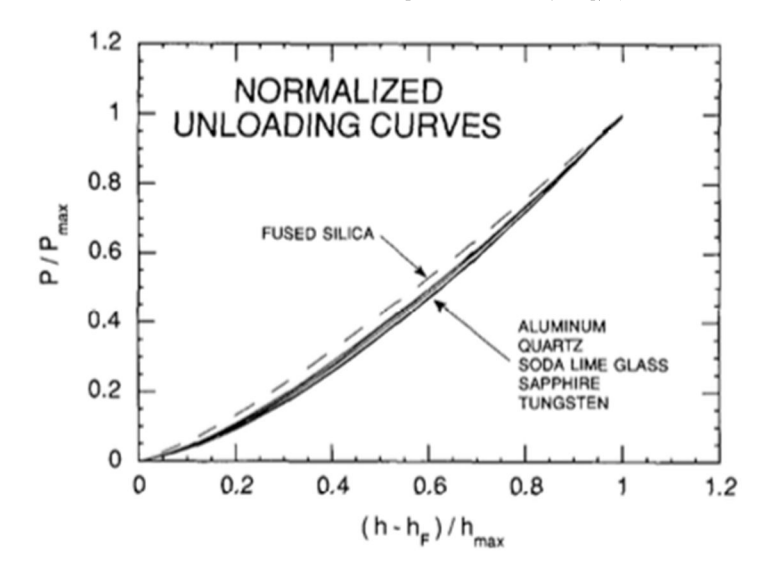
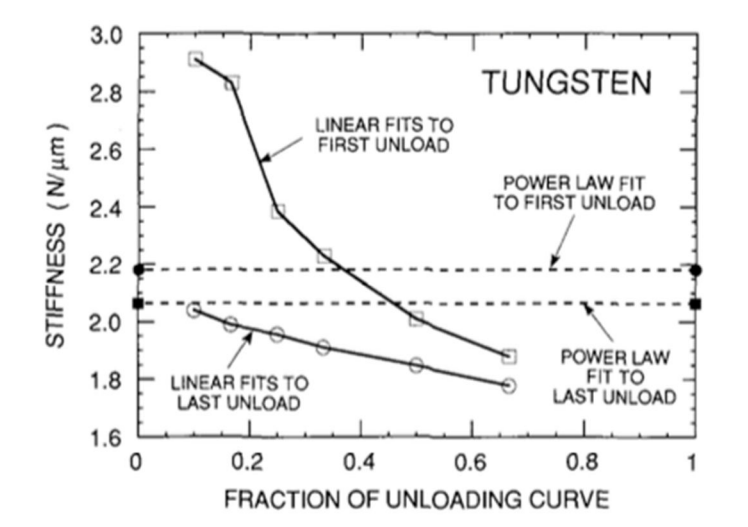


図4.10 正規化された除荷曲線 本言偏文によけるその決定: 表ではないるのがこれから、 パーコゼッチ圧子のもをしたかり、



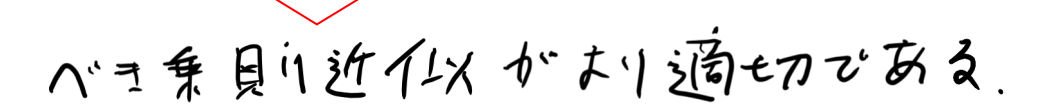
とシア定

図 4.11 除荷曲線の直線近似とべき乗則近似の比較

表 4.3 圧子形状毎の各指数の比較

Punch geometry	•	m
Flat	1	1
Paraboloid	0.75	1.5
Conical	0.72	2

- ・図 4.10 より、どの材料の除荷挙動も正規化 すればほぼ同一
- · 打料に応じて圧みる受える 必要はなく、単一の圧みで 打料の除荷茶をある 表出せる。
- ・除荷曲線の近似方法
- → 銀形近似(実録)では除荷 曲句の近似範囲中 負荷サイクルの回答の違い で搭触団川でかてまく 変化する。
- → 八寸乗見りを用いる手法では、「ち角出間」小生の変化はでで小さい。



●フレームコンプライアンスと圧子面積関数の決定

言場を存録同小性(荷重をうけたとこの3単性変形のUscz)の空勢、「TP込み音が易をすらりに内包工めている。

測定される
$$E=\frac{ 試験片と圧子の } { 接触コンプライアンス } C_s + \frac{ 試験装置のフレーム } { 接触コンプライアンス } C_s + \frac{ は験装置のフレーム } { コンプライアンス } C_f$$
 (10)
 子学个生存何以下の $S=\frac{dP}{dh}=\frac{2}{\sqrt{7}}E_{L}\sqrt{A}$ (11)
 逆を欠

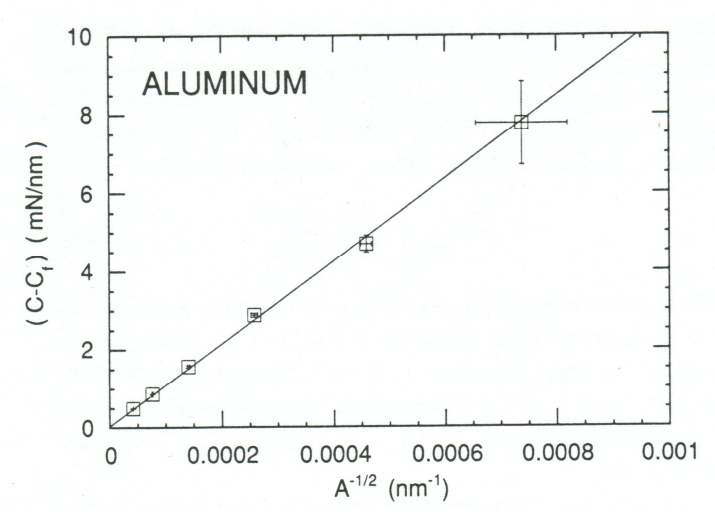
 $\therefore C = C_f + \frac{\sqrt{\pi}}{2E_r} \frac{1}{\sqrt{A}}$ (12) ··· Cと解りプロ外は直線となり、外動との切片とにてCfを決定でする

- · 手順 ①: A L 言式料に対する 6段P省の有金での言式験策施
 - ②: (12)对之A(he)=24.5hc²(理现的压形状),不知 高满重個12段陷了了一夕色图以了C一种20以后 飞作成一)CFA市为其用相定值
 - ③: $A = \frac{\pi}{4} \frac{1}{E_r^2} \frac{1}{(c-c_f)^2}$ (14)[(12)式の変形]、よよが全段なる有質でのデータを用いて A hc プロットを作成、そのプロットに対して

$$A = 24.5h_c^{2} + C_1h_c^{1} + C_2h_c^{1/2} + C_3h_c^{1/4} + \dots + C_8h_c^{1/128}$$
 (15)

の多項式近似を行い、在子面積関数A(hc) を決定する。

- の 行うれた A (hc)を用いて、CfとA (hc)が収まするまで及後ですな行う。
- ⑤他材料である適用.





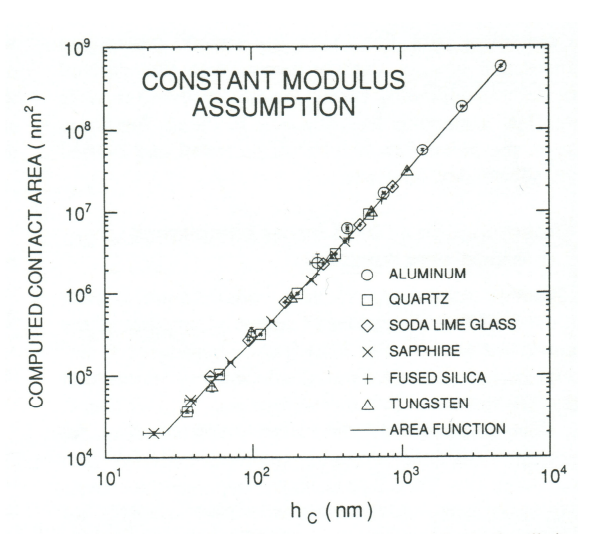


図 4.13 圧子接触面積関数の検証

- ネ有正は外にコンプライアンス(C-Cf)と常のファワットか 维利でかっ切片のこるのだ~適正写Cチである
- 受験データからずめられた接触面積と、本手法によって 决定过小厅面积则数日,打锤も荷重に4,55% 经次

●解析手法の妥当性の評価

①圧子接触面積関数

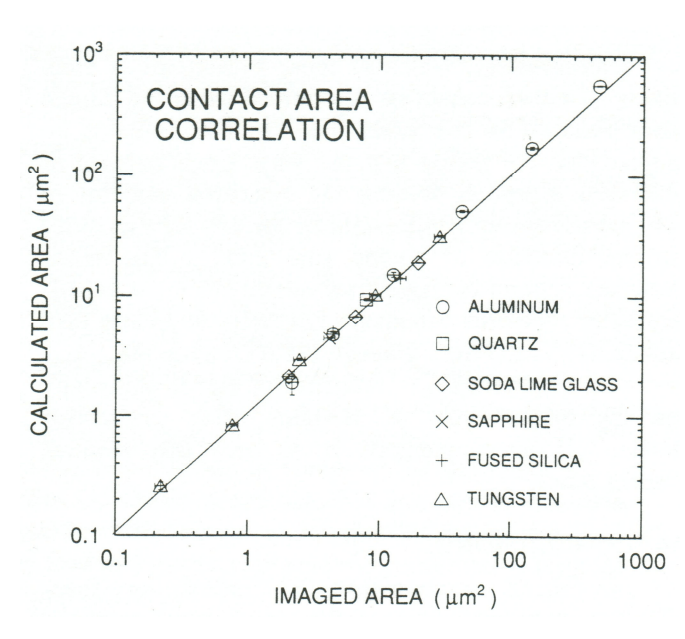


図 4.14 圧子接触面積と圧痕観察結果との比較

圧痕の SEM 新見祭 発昇と 本解析を活との比較: 打種・新重によるず一段に

②硬さ

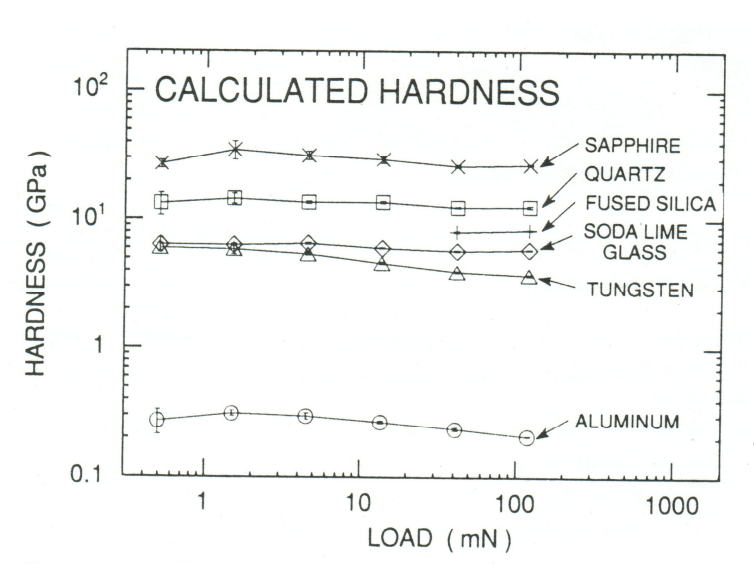


図 4.15 算出硬さ値と試験荷重の関係

アルミとタングステンで、任荷をによいする石灰土上昇が見られる。その人では「丁甲込み丁添効果」

荷重伯下(二押込み)を 正痕寸法の流力)に 伴い、不更工が上昇す3現象

③弾性係数

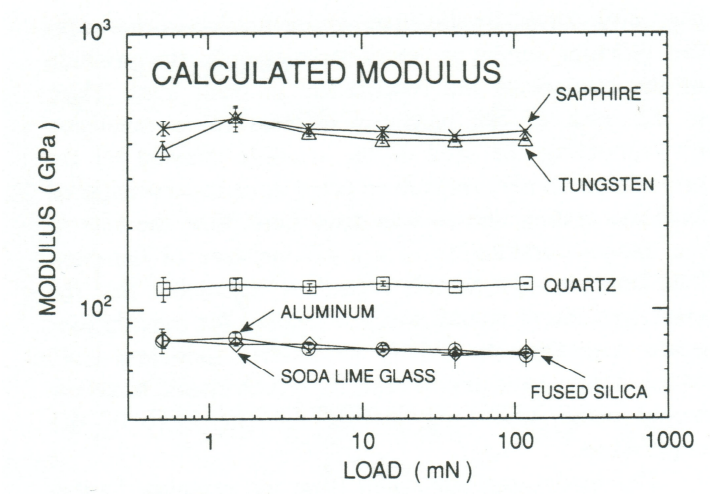


図 4.16 算出弾性係数と試験荷重の関係

- ・3年代生代教は押込みす法文力果ははない見られる。ほぼ、一定値を示した。
- ・學方作はすす料(Al, W, がラス、 石英)では文献値と4名 以内の誤差、しかしせつがや せ水晶では9へ30名の 誤差:すす料特性(異方性) の早が響?

表 4.4 算出弾性係数における弾性異方性の影響

Material	Experimental modulus (GPa)	Standard deviation (GPa)	Literature modulus (GPa)	Poisson's ratio	Reference
Aluminum	68.0	0.93	70.4	0.347	35
Quartz 124	124	0.54	95.0	0.077	35
		× .	(c-axis = 105)		
Soda-lime glass	69.9	0.22	70.0	0.23	36
Sapphire 441	441	4.70	403	0.234	35
			(c-axis = 499)	•	
Fused silica	69.3	0.39	72	0.17	37
Tungsten	410	4.70	409.8	0.280	35